

零件加工后
物理机械性能和
使用性能的研究

[苏联] A. B. 波德杰主编



国防工业出版社

21

78.21
305
22

零件加工后物理机械性能 和使用性能的研究

[苏联] A. B. 波德杰主编

冯绍周译 刘腾校

国防工业出版社

D1619.50 內容簡介

本文集詳細地闡述了在磨削金屬時對熱現象的研究結果。敘述了在侵透加熱和冷卻時對零件中殘余應力的計算方法。列舉了耐熱合金和鈦合金疲勞試驗的結果，並介紹了用理論分析法和實驗法直接測量加工後零件表面溫度和殘余應力的問題。理論分析從研究溫度場入手，實驗方法則利用電阻絲及其他相應的儀器。此外，還介紹了如何控制零件表面質量的方法。

本文集不僅可供工廠的工程師、技術員和科學研究部門的工作人員閱讀，同時對於有關的大專院校的師生也頗有裨益。

ИССЛЕДОВАНИЕ ФИЗИКО-МЕХАНИЧЕСКИХ
И ЭКСПЛУАТАЦИОННЫХ СВОЙСТВ ДЕТАЛЕЙ
ПОСЛЕ ОБРАБОТКИ
под редакцией [苏联] А. В. Ползая
ОБОРОНГИЗ 1960

*
**零件加工后物理机械性能和
使用性能的研究**

譯者周譯 刘 鷹校

*

國防工业出版社出版

北京市书刊出版业营业登记证字第074号

新华书店北京发行所发行 各地新华书店經售

国防工业出版社印刷厂印裝

*

850×1168 1/32 印張 4 1/2 114 千字

1964年9月第一版 1964年9月第一次印刷 印数：0,001—5,700册

统一书号：15034·744 定价：(科八-1)0.95元

目 录

磨削时被加工金属中温度场的研究.....	5
磨削时零件内温度场的确定.....	42
在对衬套快速穿透加热和冷却时产生的热应力的计算.....	57
磨制钛合金零件表面层残余应力的研究.....	74
用ВИУ-1 МАИ-ВИАМ设备在高频载荷下对钛合金和耐热合金持久强度的研究	94
磨制零件残余应力的研究	115

78.21
305
22

零件加工后物理机械性能 和使用性能的研究

[苏联] A. B. 波德杰主编

冯绍周译 刘腾校



中国科学院出版社

D1619.50 內容簡介

本文集詳細地闡述了在磨削金屬時對熱現象的研究結果。敘述了在侵透加熱和冷卻時對零件中殘余應力的計算方法。列舉了耐熱合金和鈦合金疲勞試驗的結果，並介紹了用理論分析法和實驗法直接測量加工後零件表面溫度和殘余應力的問題。理論分析從研究溫度場入手，實驗方法則利用電阻絲及其他相應的儀器。此外，還介紹了如何控制零件表面質量的方法。

本文集不僅可供工廠的工程師、技術員和科學研究部門的工作人員閱讀，同時對於有關的大專院校的師生也頗有裨益。

ИССЛЕДОВАНИЕ ФИЗИКО-МЕХАНИЧЕСКИХ
И ЭКСПЛУАТАЦИОННЫХ СВОЙСТВ ДЕТАЛЕЙ
ПОСЛЕ ОБРАБОТКИ
под редакцией [苏联] А. В. Ползая
ОБОРОНГИЗ 1960

*
**零件加工后物理机械性能和
使用性能的研究**

譯者周譯 刘 鷹校

*

國防工业出版社出版

北京市书刊出版业营业登记证字第074号

新华书店北京发行所发行 各地新华书店經售

国防工业出版社印刷厂印裝

*

850×1168 1/32 印張 4 1/2 114 千字

1964年9月第一版 1964年9月第一次印刷 印数：0,001—5,700册

统一书号：15034·744 定价：(科八-1)0.95 元

目 录

磨削时被加工金属中温度场的研究.....	5
磨削时零件内温度场的确定.....	42
在对衬套快速穿透加热和冷却时产生的热应力的计算.....	57
磨制钛合金零件表面层残余应力的研究.....	74
用ВИУ-1 МАИ-ВИАМ设备在高频载荷下对钛合金和耐热合金持久强度的研究	94
磨制零件残余应力的研究	115



磨削时被加工金属中温度场的研究

工程师 H. H. 諾維柯夫

在现代机械制造工艺中，影响产品使用性能的零件表面层质量及其加工精度，愈来愈具有重大的意义。

目前，磨削是为获得精确的零件表面而最广泛采用的精加工工序之一。在航空发动机制造中，由于在生产中引用了镍基和钛基合金及高级优质钢，加工时难以使用刀具切削，因此，磨削就具有了特别重要的意义。

但是，在某些情况下，磨削会使表面层的质量发生重大地改变。这种现象的原因之一是磨削生热，因为消耗于磨削过程的功的主要部分均变成热。这部分热向零件内部传播，沿截面急骤地改变零件温度，因而在其表面层内会产生残余应力和组织变化，甚至在许多情况下，还会改变零件的几何尺寸和破坏其加工精确度。要想研究上述现象，必须首先研究切削时在金属内部发生的热过程。

为了正确地编制零件的机械加工工艺规程和选择最佳的切削用量，工艺人员必须对加工过程中，由于发热而在金属中引起的量和质的变化，具有明确的概念。因此，建立切削过程热现象计算的科学基础，是现代机器制造工艺学的迫切任务之一。

鉴于切削过程的复杂性和多样性，显然，不可能仅通过任一个研究者来同时解决与发热有关的全部问题。这个问题要求切削、物理、数学，以及热传导等学科的为数众多的专家都作出努力。只有对各种热现象进行分别的研究，才能对它作更深入的探测。

首要任务是确定温度的关系，因为在金属切削时，对热效应的质和量的估计，不是根据零件的总热焓来确定的，而是根据加

1100010

工過程中引起我們關注的一段時間內被研究點（或區域）的溫度變化的特性。在這種情況下，溫度場的圖形就是最重要的特性之一。利用它可以對加工過程中金屬內部的熱傳導過程，獲得一個幾乎完整的概念，而且還能對下列問題給出答案：在零件中傳熱的熱流特性如何，沿零件深度各個點的溫度變化規律如何，在哪一點（或區域）上和在什麼時刻將達到最高溫度，以及熱源的能量有多大等。

此外，溫度場還可以作為由各種不同方法獲得的熱過程的相似準則。例如，在研究切削加工中金屬內部所發生的熱現象時，在許多情況下，總是希望拋開機械加工過程中的其他因素的影響（如切削力、摩擦力、系統的剛性等）。為此目的，利用高頻電流、電阻絲或其他方法將金屬加熱，以模擬金屬內部的熱狀態。這時，可以根據溫度場相似原理，對被模擬的熱過程和被研究的熱過程的類似程度作出極準確的評價。為了作到這一點，還必須有若干較簡單的計算方程式，以便用它們來迅速、而在實用上又足夠準確地計算和比較幾種被對比的熱過程的溫度場。

鑑於在這方面所進行的工作還十分不夠，特別是對於被磨削金屬溫度場的研究幾乎沒有，故本文就平面磨削時被加工金屬內溫度場的研究結果作了闡述。研究金屬加工時的溫度場的課題，和其他任何實用性的課題一樣，可以用兩種方法解決：1) 實驗方法，即選擇一些經驗公式來確定溫度的關係；2) 解析計算法，用以解決給定加工過程的熱傳導問題。這時，全部近似值（這在用解析方法解決類似的實用課題時是許可的，因其只能獲得近似值）都要仔細地用實驗所得的結果加以鑑定。

純實驗研究的嚴重缺點是它所獲得的經驗關係，只適用於具體的、曾經做過試驗的工藝因素，因此概括性小。

解析—實驗法的優點是有可能概括所獲得的各種關係和研究結果。

對解決本課題（確定磨削金屬的溫度場）而言，最可取的研

究方法是解析一实验法。因为这项工作的最终目的是要求出简易计算的温度计算关系。它们可以向从事相近的机器制造工艺问题（残余应力、相和组织的变化、加工硬化、烧伤、裂纹和翘曲等）的研究人员提供有关金属在磨削时受热状态的科学的、有根据的数据。

研究工作的步骤如下：

1. 拟定解析确定温度场的方法，即拟定磨削过程中每一时刻被加工金属的任意点（或区域）上的温度计算方法。
2. 寻求用实验确定温度场的方法，用以检验由解析计算法所求得的结果。
3. 对根据不同磨削工艺参数所获得的被加工金属内温度场的实验数据，进行综合概括。

温度场的解析研究

温度场研究方法的一般原理

为了解析确定温度关系，必须找出温度在载热体内的空间一时间分布情况。换言之，必须求出用数学公式表示的，作为坐标和时间函数的温度场，即：

$$T = f(x, y, z, \tau), \quad (1)$$

式中 T ——某一点的温度；

x, y, z ——物体某一点的座标；

τ ——时间。

表达热现象的物理量和物体某一点座标位置间的数学关系，通常用数学物理的微分或积分式来表示，以说明每一瞬间在温度场任意点上所发生的物理现象的过程。金属的加热过程与热传导过程有极密切的关系，并可以在解出表达温度场各参数间相互关系的经典的热传导微分方程式（傅利叶方程式）的基础上，对加热过程进行解析研究。

$$\frac{\partial T}{\partial \tau} = \alpha \left(\frac{\partial^2 T}{\partial x^2} + \frac{\partial^2 T}{\partial y^2} + \frac{\partial^2 T}{\partial z^2} \right), \quad (2)$$

式中 $\alpha = \lambda / c\gamma$ —— 导温系数;

λ —— 导热系数;

c —— 比热;

γ —— 比重。

同时，方程式 (2) 中的所有热物理参数，对工程计算足够的准确度来说，可以认为，在研究的范围内，与温度无关，因此避免了一般形式微分方程式的非线性性质，即：

$$c(T)\gamma(T)\frac{\partial T(r, \tau)}{\partial \tau} = \frac{\partial}{\partial r} \left[\lambda(T) \frac{\partial T(r, \tau)}{\partial r} \right], \quad (3)$$

式中 r —— 半径向量。

上述方程式，至今尚未有适于实际使用的解法。

解方程式 (2)，就是要求出每一瞬间和被研究物体任意点上的温度分布。这个解法是利用数学物理方法，根据选定的发热状态，通过选择热传导方程解的途径来实现的。上述发热状态应能够满足该加工过程所规定的边缘和边界条件。

虽然，对热传导理论 [1] 和 [2] 已作了充分的数学研究，其原理早在 200 年前就为法国科学家傅利叶所建立，但是，除了最简单的课题外，大多数课题的严格求解都是非常复杂的，并且需要数学家们作出极大的努力。

在最近几年，苏联科学院通讯院士 H. H. 雷卡林研究出了一种以热源的方法为基础的、极有普遍性的对热课题求解的方法 [3]。这个方法的实质是：以分布在时间和空间内的单元（点、线、平面）热源所形成的很多过程的当量总和，代替被研究的热传播过程。

在三度无限大物体内，单点热源的作用可用格林函数表示如下：

$$T(R, \tau) = \frac{q}{c\gamma(4\pi\alpha\tau)^{3/2}} e^{-\frac{R^2}{4\alpha\tau}}, \quad (4)$$

式中 R ——半徑向量;

q ——热源能量。

此方程是一般热传导微分方程式的特解。所有綫源和面源的其他解，都可以通过求此方程式的总和而获得。

在焊接領域中，利用热源的方法分析热現象，已經解决了这一領域中大部分急待解决的課題。而近年来这种方法在其他領域內也解决了許多問題。解析計算法既灵活又簡便，而且具有广泛的可能性，因此这就引起人們一种想法，利用它分析磨削时金屬内部的热現象。

磨削过程的分析和选择計算发热状态的根据

下面我們觀察一下，在笛卡尔座标系內的平面磨削的运动示意图（图1）。零件沿 z 軸方向以速度 v_x 作均速往复运动。金屬磨削到規定深度 s （ y 軸），

磨削速度等于砂輪的圓周速度和零件往复运动速度的代数和，即 $v_{kp} \pm v_x$ 。为了磨削零件上新的一层金屬，机床台面在完成每一双行程或单行程后，都要沿 x 軸方向作横向移动，其进給量为 s_{no} 。

用磨料工具切削金屬的过程具有下列特点[4]: 1)

砂輪沒有連續的切削刃; 2) 砂輪顆粒的几何形状不正規，而且排列次序零乱; 3) 在切入金屬之前，砂輪顆粒和金屬之間具有强烈的滑动; 4) 砂輪一个顆粒几乎是一瞬间的切削过程。因此，对磨

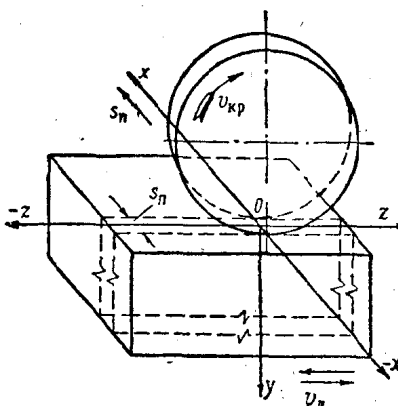


图1 平面磨削时的座标軸位置示意图。

● 鉴于式中 v_x 項的值相对的小，故在計算中略而不計。

削过程中的任何一个被研究的值，都应当作为許多变数（过程的运动、切削規范、砂輪和被加工金屬的特性，和其他因素等）的函数来研究。

在具有如此之多的变量参数的情况下，尽管对磨削过程的理論和實驗研究給以相当大的注意，要得出热傳導基本方程式（2）的直接解法，仍是一个很难完成的解析課題。

可以通过以下两个途徑利用簡化解析題解，解决类似的实用性质的課題：

1. 对所发生現象的真实特性作精确的統計，并通过它得出一个十分近似的解析題解。利用此方法可以得出更准确的結果，但所得数据的概括性小。

2. 对所发生現象的特性作出近似估計，并在拟 定 課題时作各种簡化，但是可能得出更精确的解析題解。这个方法可以概括所得的結果，并有可能在設計不太复杂的計算装置的条件下，考慮到實驗材料。

对所提出的課題作解析解法时，第二种方法最为适用。

因此，把磨削过程当作变相的薄层高速切削[4]来研究，将不致有太大出入。在这种情况下，砂輪与零件接触区的大量的高溫热源，可以作为高度集中的单一热源来研究。这时，热傳播過程的特点如下：1) 发生的热均集中在零件表面上的小单元上（与零件尺寸相比），即集中在砂輪与零件接触区域内；2) 热源連續地起作用，并在零件表面上以等速移动。

由于这些特点，可以选择热源的方法，来解析研究被磨削金屬内部的溫度关系。在热傳導理論中，这种方法用来便于解答与叠加原理和随热源移动而移动的座标系相结合的問題。这样，如果热源集中于极小的单元上，并且可以簡化认为是点的、線的或面的，而热傳播区域則是无限大的或半无限大（一端是有限的）的物体，在此物体的整个体积內，热傳播過程完全服从于傅利叶方程式，那么采用热源的方法来处理热傳導課題，就可获得形式

最简单的解析題解。类似簡化可能性只有在确定热源的大小，及将其与载热体的大小进行比較时，才可以看到。

热源的形状和大小是由砂輪和零件接触表面的大小規定的。它們取决于机床台面横向进給量 s_n 和接触弧长 L_k 的比例(图2)。横向进給量的大小是根据給定的加工工艺条件，以砂輪寬度的百分率来表示，按手册选取。一般进給量要比由解析計算[4]得出的接触弧长大許多倍。接触弧以曲線 OB 表示，其長度可按下式計算：

$$L_{kp} = \left(1 \pm \frac{v_n}{60v_{kp}} \right) \sqrt{Dt}, \quad (5)$$

式中 D ——砂輪直徑；

t ——切削深度。

由于因数 $\frac{v_n}{60v_{kp}}$ 之值甚小，可以忽略不計[●]，因此計算公式可以簡化为：

$$L_k = \sqrt{Dt}, \quad (6)$$

即接触弧長大致上可以认为等于 OA 弧長。

由于机床一夹具一工具一零件系統存在着彈性，而它們取决于加工規范。故热源的尺寸大大縮小了，这一点从图3中可以清楚地看出。图中的上半部是解析計算的結果；而下半部是在試驗室和工厂条件下，对各种合金大量的磨削工序所作的实验研究結果。这样說明为了簡化类似的解析題

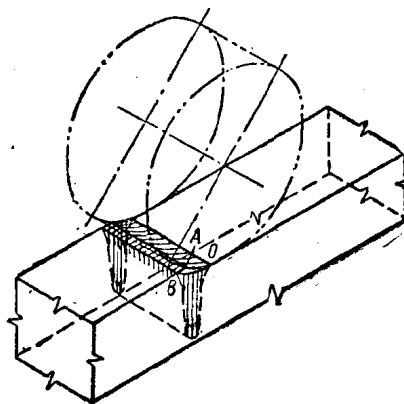


图 2 接触区内的热流示意图。

● 原书认为因数 $(1 \pm \frac{v_n}{60v_{kp}})$ 之值很小，可忽略不計，显然有誤。——校者

解，接触区平均尺寸的极限比例，可以用强度相同、但几何形状更为简单的当量热源，来代替实际热源的作用。在这些解法中，可以用位于砂輪和零件接触区中的线热源（在精加工工序中甚至用点热源）作为这种单元热源。

在工厂条件下，工艺人员经常必须对厚壁零件（或实心零件）作温度关系的解析计算，这样有可能在首次近似中把载热体视为半无限大体。这样的简化是允许的，因为根据已知热源参数比例得知，与零件尺寸相比，热源尺寸相当小；而与热源所占的区域相比，距观察点的距离又相当大。早期的研究结果表明，对壁厚

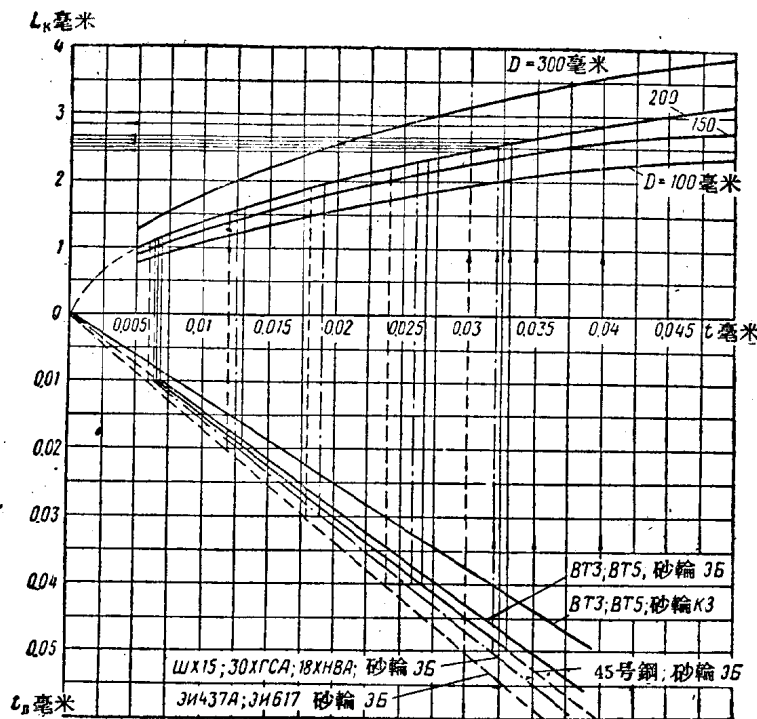


图3 在下列切削规范下，接触弧实际长度 L_k ，随磨削深度 t 和砂轮直径 D 不同而变化的曲线：

$v_{xp}=30$ 米/秒； $v_d=7.2$ 米/分； $s_{\pi}=10$ 毫米/每行程(t_{π} —按分度盘确定的切削深度)。箭头表示求解路綫。

不小于 $3 \sim 5$ 毫米的零件來說，这样的假設是允許的。

进一步簡化这类課題的解析題解，就是要選擇計算发热状态图。在平面磨削时（考慮到整个过程运动的复杂性），選擇計算图要求十分严格的态度。

为了使在每一具体情况下的給定課題，都可以选择一个既能簡化計算、又能最正确地找出加工过程各主要参数影响的发热状态图，必須在載热体上划分和分类表明其热效应結果相同的区域。

在接触区内，瞬时溫度可达到最大的值（为 A_{c_3} 点級，和更高級[4],[7]），但它产生在被磨削金屬的极薄的表面层中。在此溫度作用下，某些金屬会产生微觀組織裂紋、燒傷，甚至会使表面层发生相位組織变化。

在变形区内（一般來說，此区域与热源的大小成正比），溫度可以用所謂的热循环来衡量。热循环的特点是，溫度突然上升到頂点，隨之几乎立刻下降到最低点，这样就造成很大的溫度梯度，并在表面层中产生殘余应力，特別是对于导热系数低的合金來說，情況更为显著。

在磨削过程中，在零件体内由于热量以极高的速度放出的結果，故保持平均溫度。此溫度导致零件加工发生誤差，特別是对于用导热系数和線膨脹系数高的合金制成的零件，誤差就更大。

所以，在一种情况下，在与热源尺寸大小成正比的区域内所产生的热現象，主要取决于一次热循环所起的作用。在另一种情况下，当产生热現象的区域位于远远超过热源尺寸的距离以外时，这里的热現象应作为多次热循环的作用來研究。

对第一种情况而言，鉴于距研究点（或区域）的距离比較地小，而且热源是線形的，所以，計算用的发热状态图可以看作是沿半无限大平板（犹如从載热体中分出的）端面移动的活動線源的作用形式。这种发热状态图，在本文中被称为一次切削，利用它有可能制定出一种确定切削区内溫度場的解析方法，并且能算出接触区内的溫度，此溫度在研究加工质量时是必須知道的。